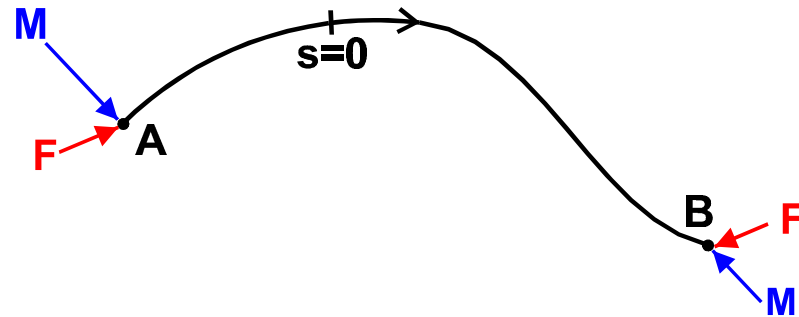


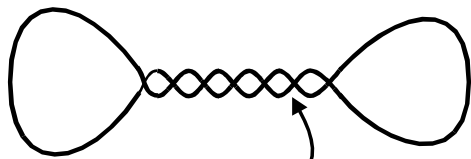
Finite size effects on twisted rods stability

Sébastien Neukirch (joint work with J.M.T. Thompson)

Elasticité des filaments

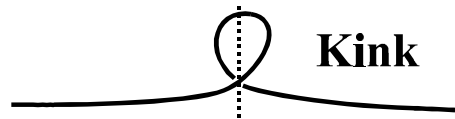


supercoiling of DNA plasmids

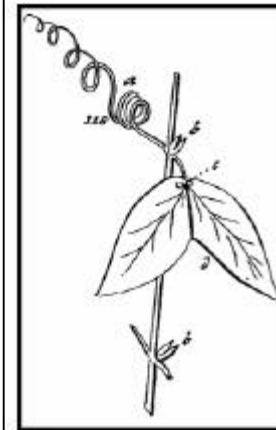


plectonèmes

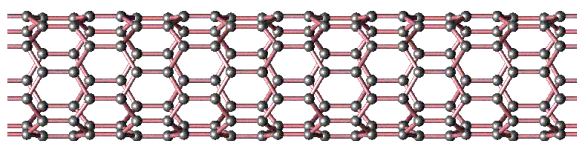
Cables sous-marins



Plantes grimpanes



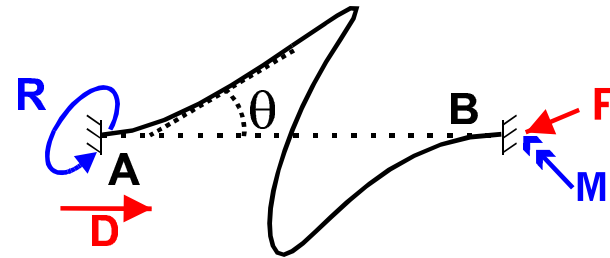
nanotubes de carbone



Applications

2 Expériences types

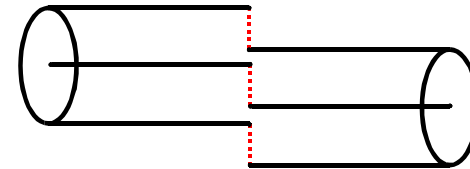
- **translation** sans **rotation** (R constant)
- **rotation** sans **translation** (D constant)



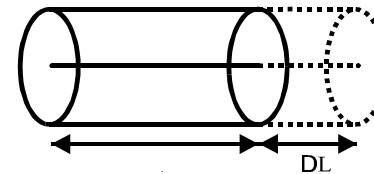
Hypothèses

- pas de courbure intrinsèque
- pas de force ni moment distribué (gravitation)

- pas de déchirement



- pas d'extension



(\vec{u}, \vec{v})	tenseur des déformations		
\vec{u}	flexure et torsion	\vec{v}	déchirement et extension
$\vec{u} = (\mathbf{k}_1, \mathbf{k}_2, \mathbf{t})$	courbure et twist		

(\vec{F}, \vec{M})	tenseur des contraintes		
\vec{F}	force interne : tension et force de déchirement	\vec{M}	moment interne : moment de flexion et de torsion

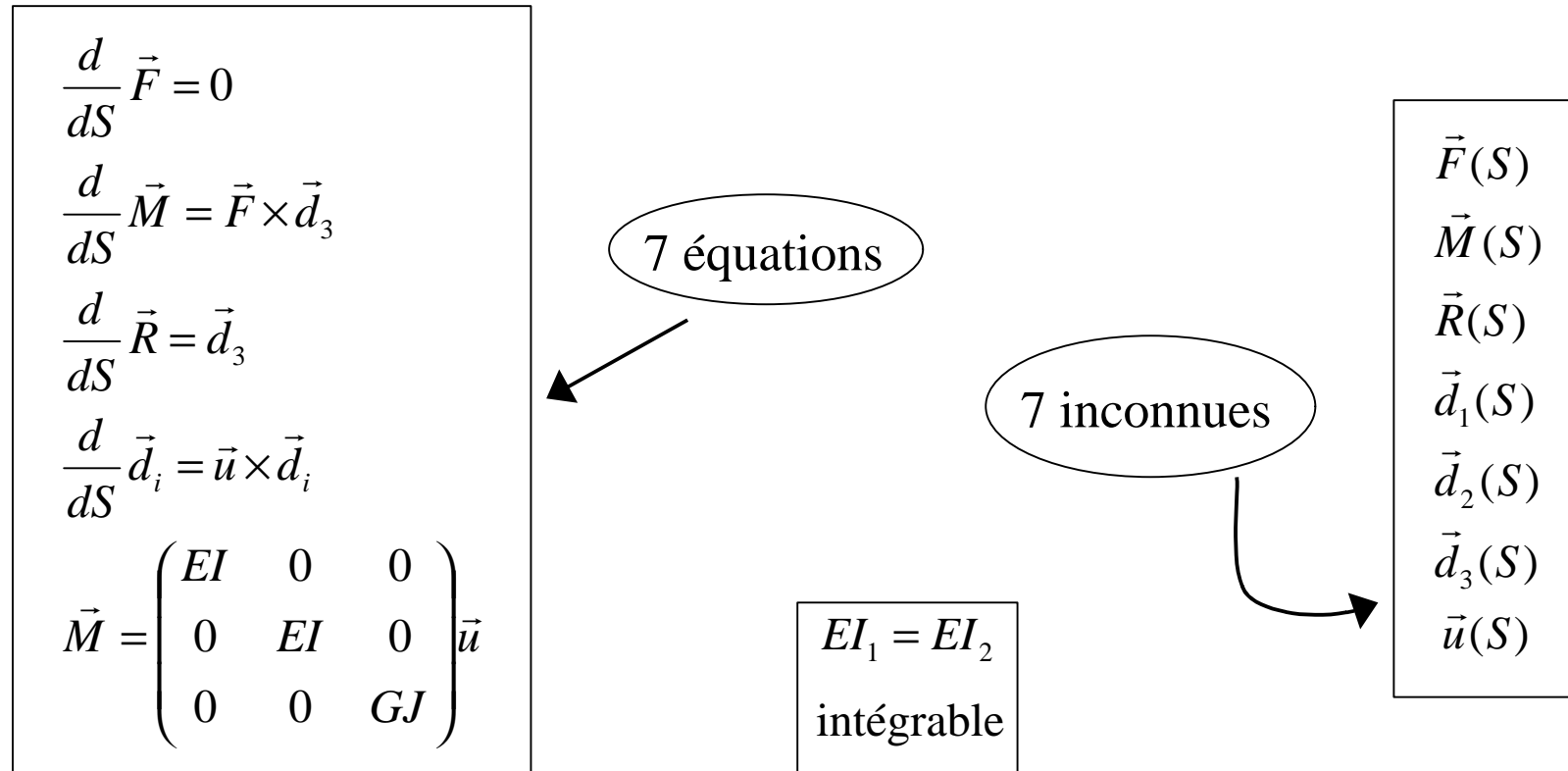
$\vec{d}_1, \vec{d}_2, \vec{d}_3$	directors frame	S	abscisse curviligne le long du filament
$\frac{d}{dS} \vec{d}_i = \vec{u} \times \vec{d}_i$	relation cinématique	$\frac{d}{dS} \vec{R} = \vec{v} = \vec{d}_3 + \vec{y}$	relation cinématique

$\vec{M} = \begin{pmatrix} EI_1 & 0 & 0 \\ 0 & EI_2 & 0 \\ 0 & 0 & GJ \end{pmatrix} (\vec{u} - \vec{u}_0)$	relation de constitution linéaire (loi de Hook) modules de flexion et torsion \vec{u}_0 courbure intrinsèque.
$\vec{F} = \begin{pmatrix} H & 0 & 0 \\ 0 & H & 0 \\ 0 & 0 & K \end{pmatrix} (\vec{v} - \vec{d}_3)$	relation de constitution linéaire (loi de Hook) modules de déchirement et d'extension

$\frac{d}{dS} \vec{F} + \vec{f} = 0$	relation fond. Dynamique \vec{f} force distribuée le long du filament	$\frac{d}{dS} \vec{M} + \vec{m} + \vec{v} \times \vec{F} = 0$	relation fond. Dynamique \vec{m} moment distribué le long du filament
--------------------------------------	---	---	---

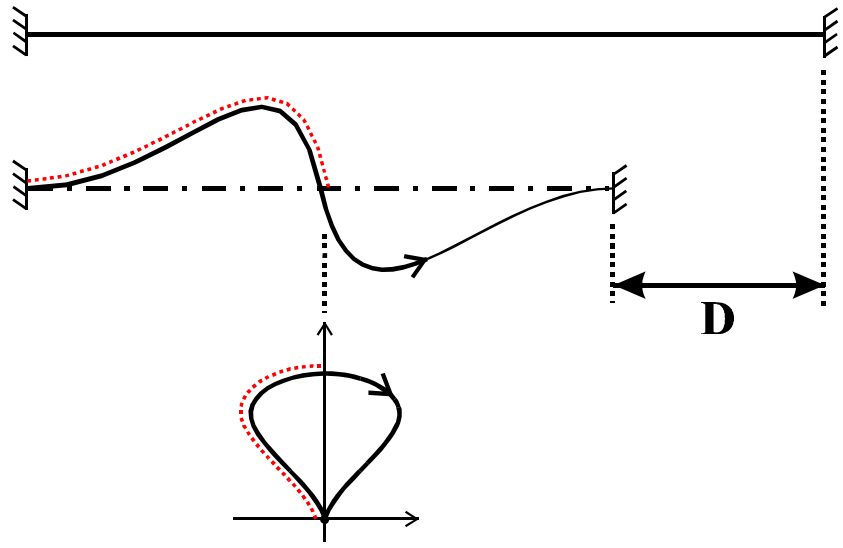
Equations d'équilibre du filament

- 1 variable indépendante S : E.D.Os
- Static-Dynamic Kirrhoff analogy : spinning top \Leftrightarrow spatial *elastica*



- Conditions aux bords : $A\vec{B} = k \vec{d}_3(B) \quad \vec{d}_3(A) = \vec{d}_3(B)$

Filament de longueur infinie (van der Heijden - Thompson)



Réduction système à oscillateur équivalent (2D)

Localisation spatiale de la déformation.

- \dots és // axe \dots
- \dots : $M^2 = 4T$
- \dots

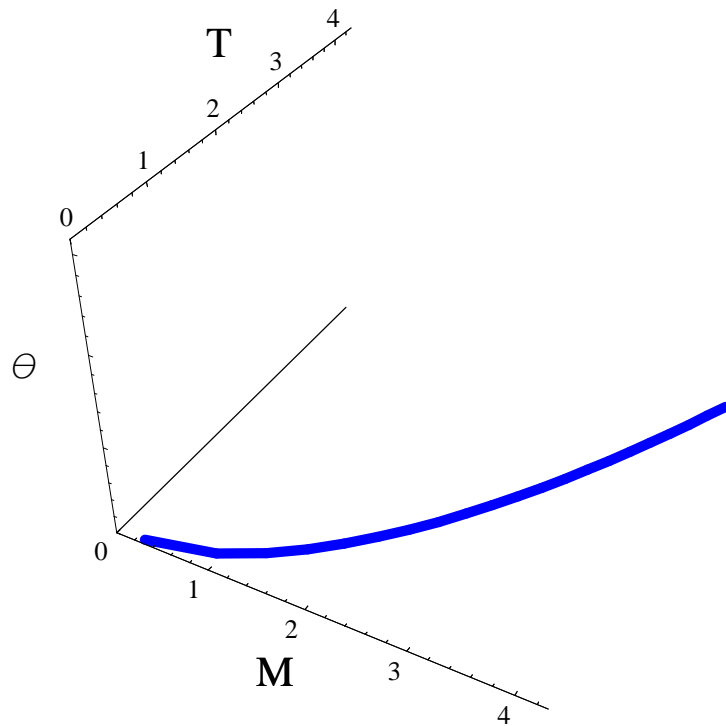
• Ensemble de toutes les configurations flambées possibles.

• \dots cond. \dots qui décrivent cet

$= 2T(1 + \cos(q_{\max}))$

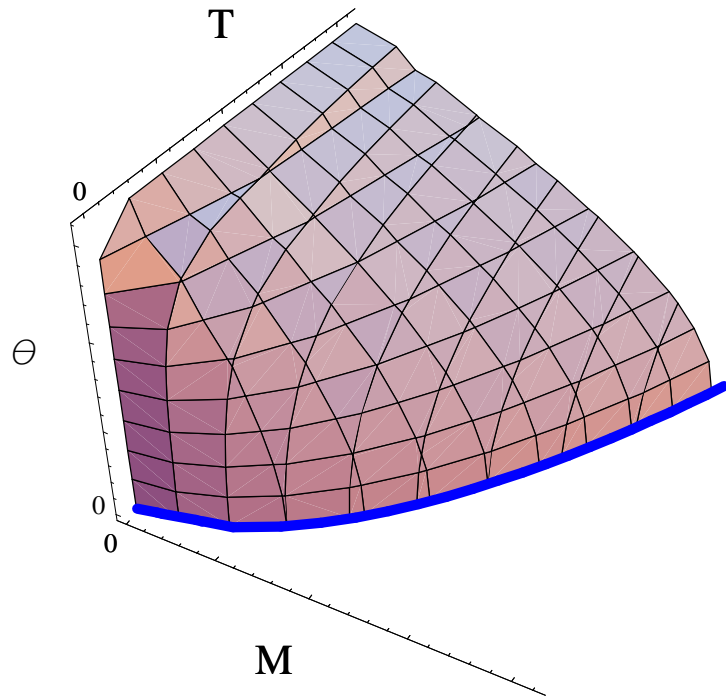
Rigid Loading (R, D) : $D = \sqrt{\frac{16}{T} \left(1 - \frac{M^2}{4T} \right)}$ $R = \infty$ (dès que $M > 0$)

Filament de longueur infinie : surface post-flambage



$$M^2 = 4T$$

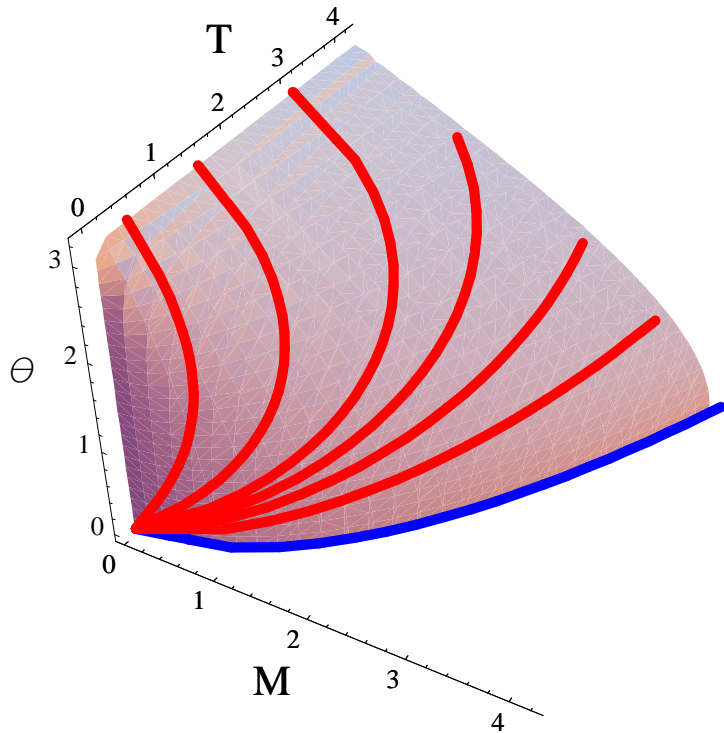
Filament de longueur infinie : surface post-flambage



$$M^2 = 4T$$

$$M^2 = 2T(1 + \cos(q_{\max}))$$

Filament de longueur infinie : surface post-flambage

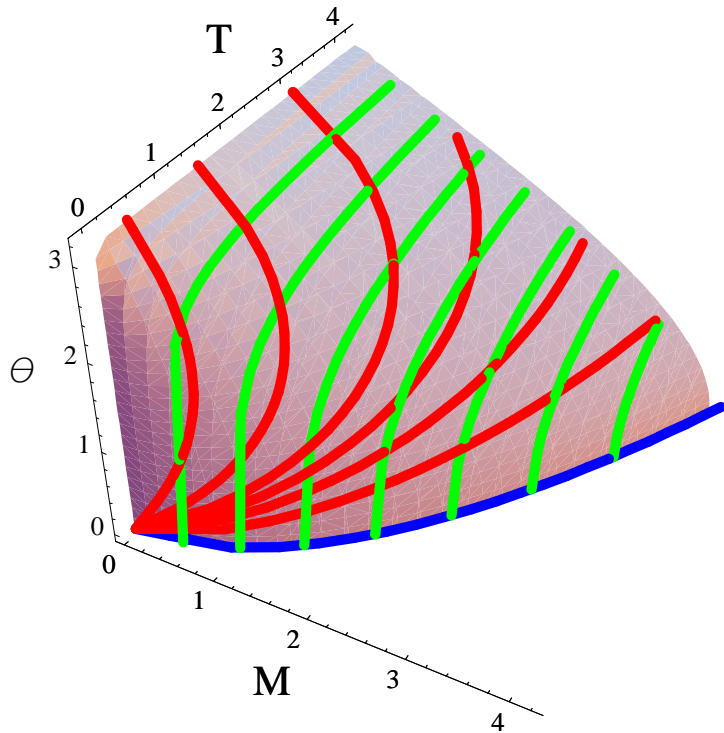


$$M^2 = 4T$$

$$M^2 = 2T(1 + \cos(q_{\max}))$$

$$D = \sqrt{\frac{16}{T} \left(1 - \frac{M^2}{4T}\right)}$$

Filament de longueur infinie : surface post-flambage



$$M^2 = 4T$$

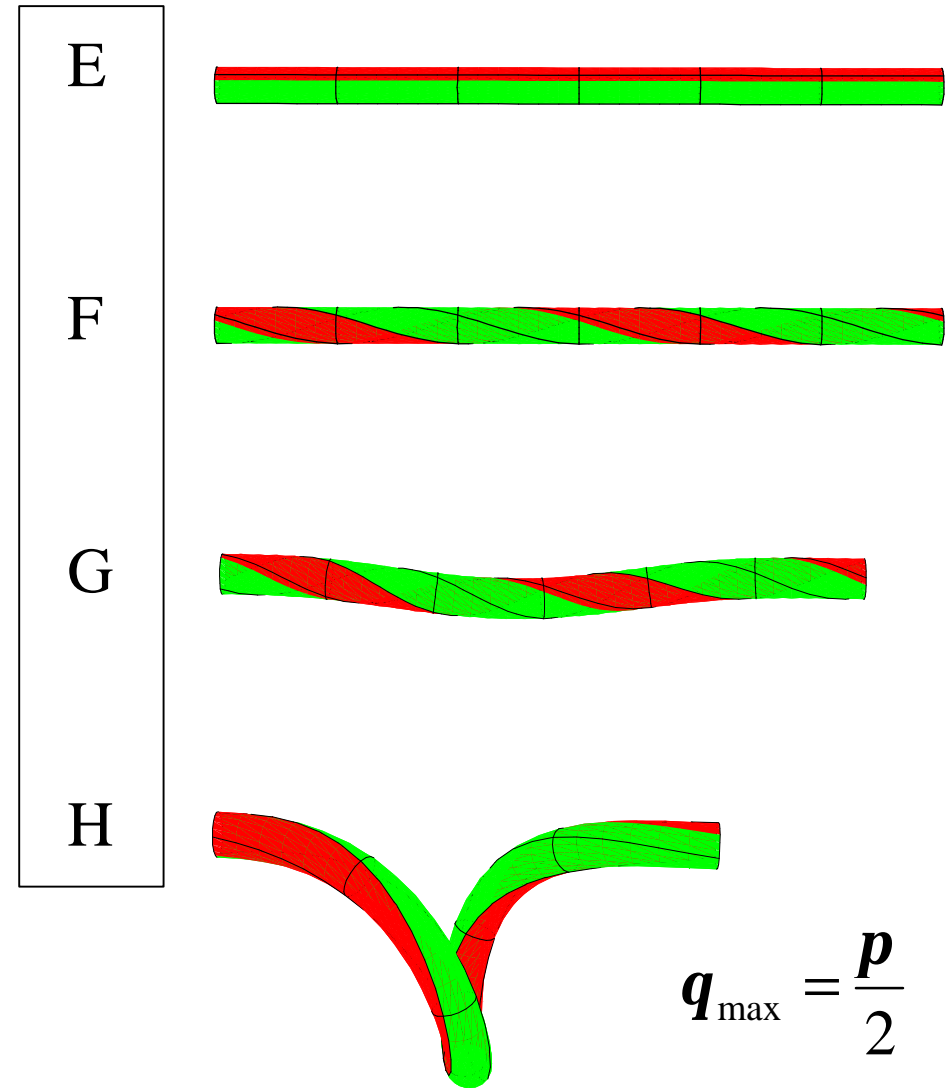
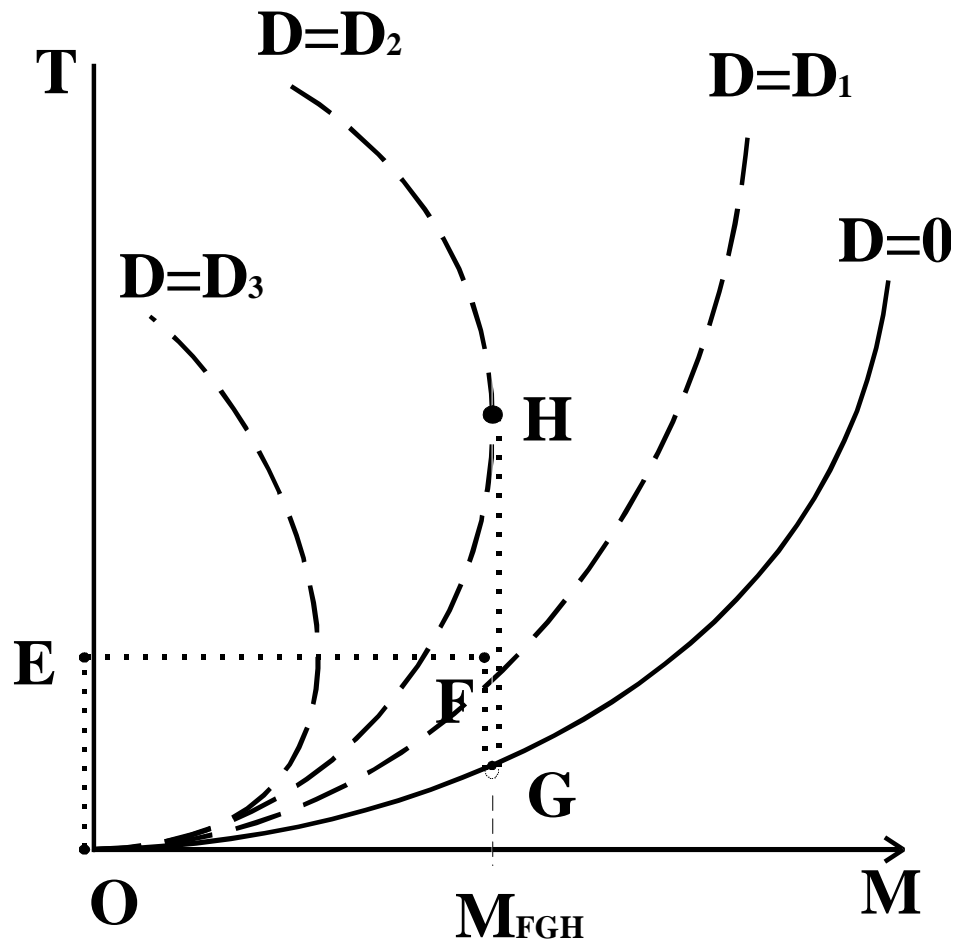
$$M^2 = 2T(1 + \cos(q_{\max}))$$

$$D = \sqrt{\frac{16}{T} \left(1 - \frac{M^2}{4T}\right)}$$

const: $R \Leftrightarrow$ const. M

Filament de longueur infinie : expérience translation sans rotation

$$D_1 < D_2 < D_3$$



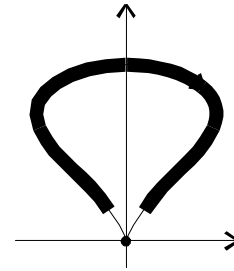
Filament très long : const. R \neq const. M

- Longueur L : $m = \frac{M L}{EI}$, $t = \frac{T L^2}{EI}$, $\Gamma = \frac{GJ}{EI}$, $d = \frac{D}{L}$, $s = \frac{S}{L} \in [-\frac{1}{2}; +\frac{1}{2}]$

- Même formule pour D : $d = \sqrt{\frac{16}{t} \left(1 - \frac{m^2}{4t}\right)}$

- Même formule pour surface post-flambage : $m^2 = 2t (1 + \cos(\mathbf{q}_{\max}))$

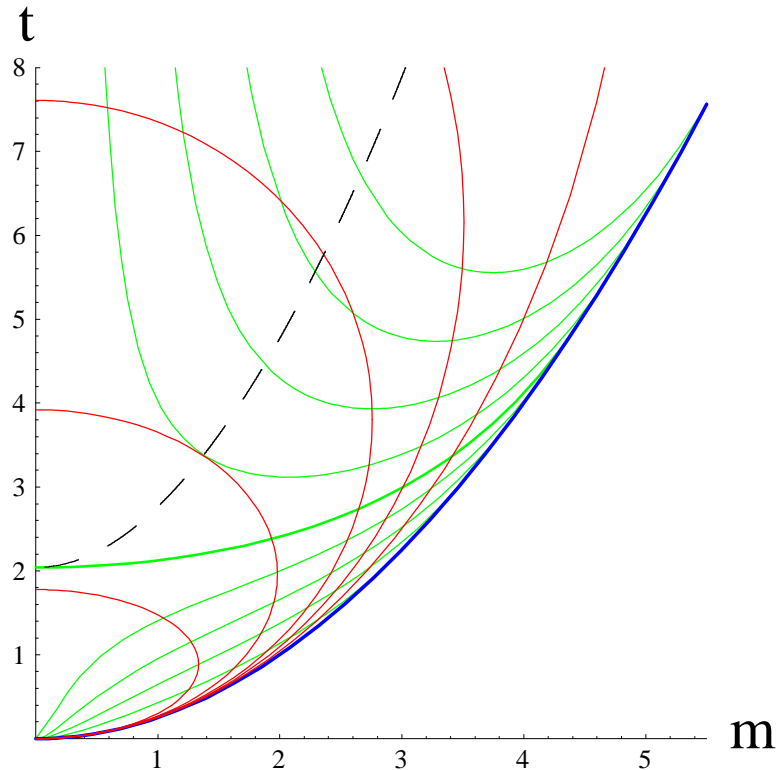
- $R < \infty$, mais on intègre le long de la trajectoire homocline :



$$R = \frac{m}{\Gamma} + 4 \text{ArcCos} \left(\frac{m}{2\sqrt{t}} \right)$$

- Dépendance de R % \mathbf{G} alors que d et m^2 ne dépendent pas de EI ni de GJ

Filament très long : surface post-flambage



- Projection !
- Correction semi-finie

- On retrouve la tangence (point H)

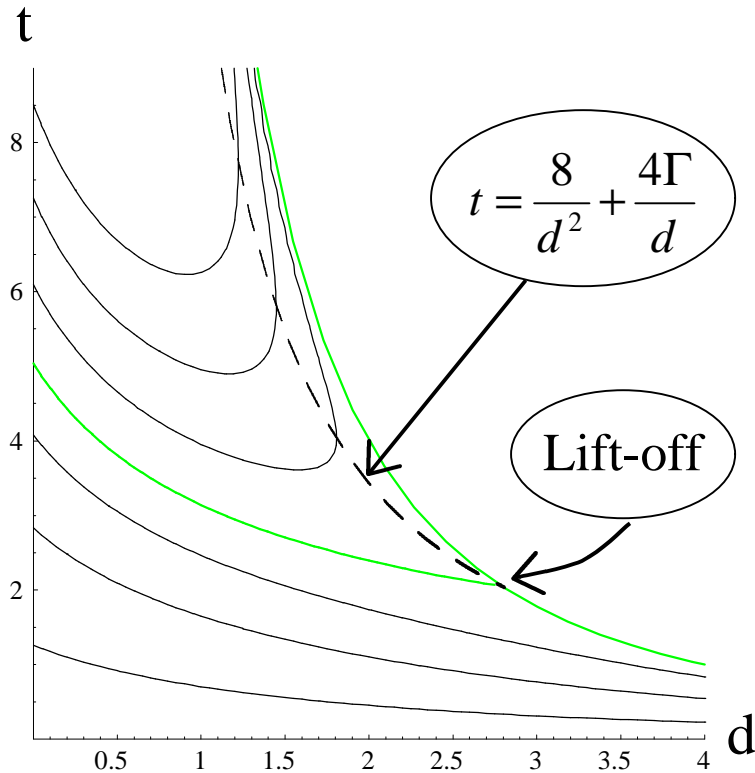
- Limite de stabilité : $m^2 = 4t \left(1 - \frac{(\Gamma + \sqrt{\Gamma^2 + 2t})^2}{4t} \right)$

Correspond à $q_{\max} > \frac{p}{2}$

Plus stable que dans le modèle précédent.

- Courbe spéciale : $R = 2p$
- pas d'instabilité pour $R < 2p$
- Ce diagramme permet d'avoir accès à toutes les configurations possibles.

Filament très long : stabilité lorsque R fixe



Courbes de niveau :

$$R_0 = \frac{2}{\Gamma} \sqrt{t} \sqrt{1 - \frac{d^2 t}{16}} + 4 \text{ArcCos} \left(\sqrt{1 - \frac{d^2 t}{16}} \right)$$

- Changement de stabilité aux points limites en D

Energie pot. déformation : $U(\mathbf{k}, t)$

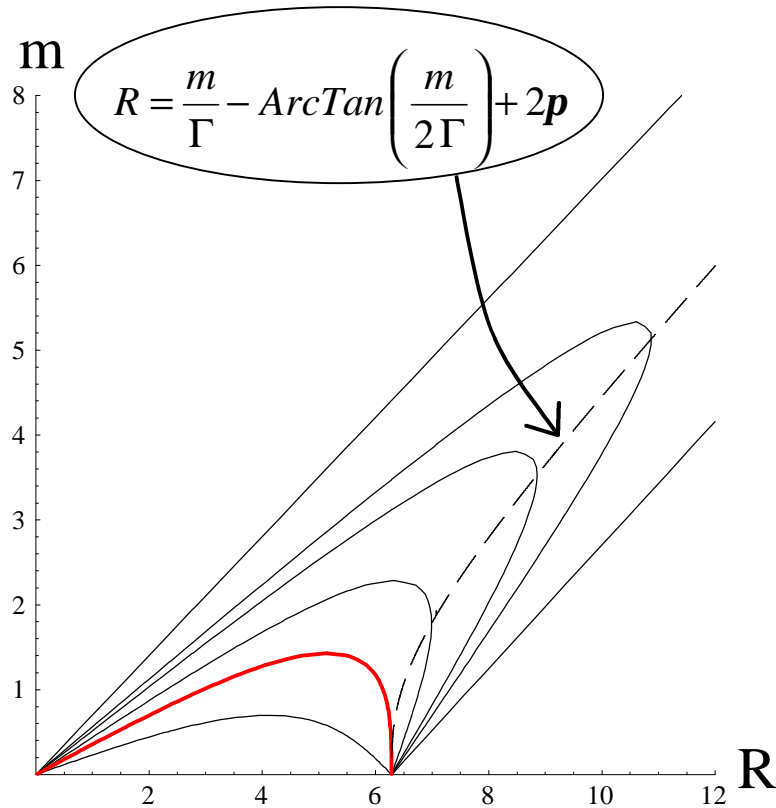
On contrôle D , paramètre conjugué : $-\left. \frac{dU}{dD} \right|_{path} = T$

Thm : proche point limite, pente positive \Leftrightarrow stable

- Branche spéciale : $R = 2p$

- Les courbes $R < 2p$
ne présentent pas de point limite

Filament très long : stabilité lorsque D fixe



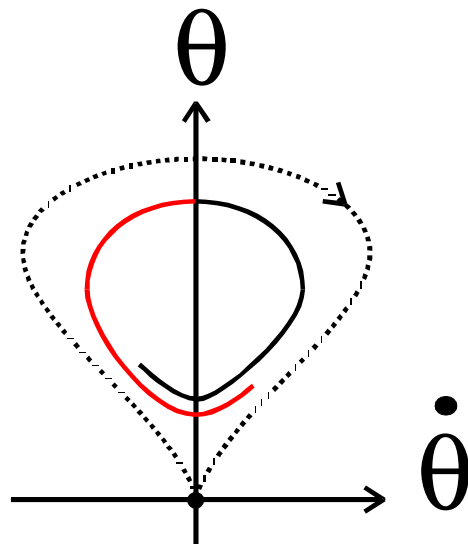
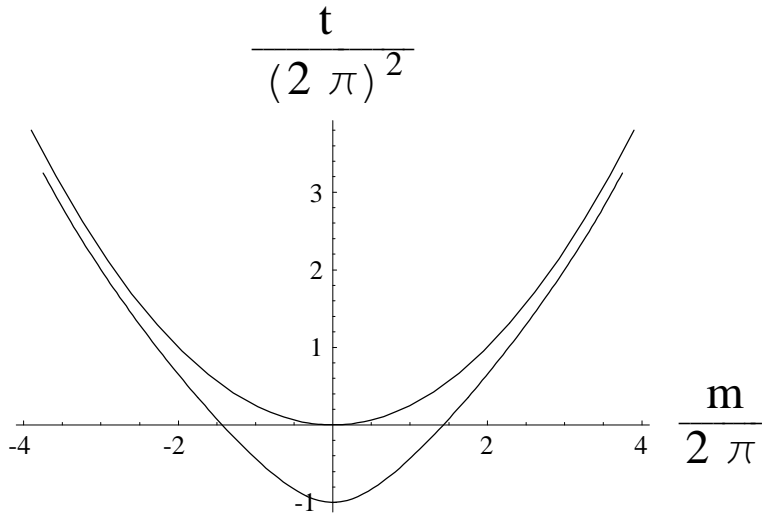
- On tourne les extrémités sans translation
- On contrôle R , le paramètre conjugué est $-m$
- Changement stabilité. : point limite en R
- Faible raccourcissement : instabilité vers contact
- Fort raccourcissement : le filament vient se toucher de façon quasistatique (config. plane)

Courbes de niveau :

$$R_{\pm} = \frac{m}{\Gamma} + 4 \text{ArcCos} \left(\frac{m d_0}{2\sqrt{2}\sqrt{4 \pm \sqrt{16 - m^2 d_0}}} \right)$$

$d_{LIM} = \frac{2}{\Gamma}$

Filament de longueur finie : ~~homocline~~



- Flambage sous compression

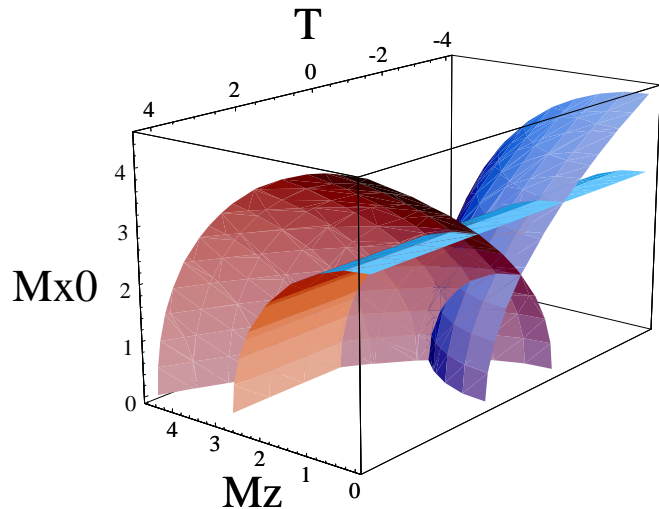
$$\left(\cos\left(\frac{1}{2}\sqrt{m^2 - 4t}\right) - \cos\left(\frac{m}{2}\right) \right) \sqrt{m^2 - 4t} = t \sin\left(\frac{1}{2}\sqrt{m^2 - 4t}\right)$$

- Différence théorique

mêmes équations mais plus de paramètres
système toujours intégrable
espace des phases ne contient plus
de courbe homocline (de façon générique).

- ‘Wrench’ équivalent (moment, force) n’est plus // aux deux bornes de l’appareil.
- Présence d’une force de déchirement et d’un moment de flexion aux bornes.

Filament de longueur finie : surface post-flambage



- Problème avec conditions aux bords (BVP)
- Réduction vers un système 6D
- GRS : global representation space (IVP)

+ conditions initiales non triviales \mathbf{q}_0

+ paramètres libres m_z, t, m_{x0}

=> toutes les configurations possibles

=> unicité configuration % $(m_z, t, m_{x0}, \mathbf{q}_0)$

- Condition aux bords : $\begin{cases} d_{3y} = 0 \\ x d_{3z} = z d_{3x} \end{cases}$

- Toutes les configurations sont s-symétriques.

$$d'_{3x} = t x d_{3z} - m_z d_{3y}$$

$$d'_{3y} = t y d_{3z} - m_{x0} d_{3z} + m_z d_{3x}$$

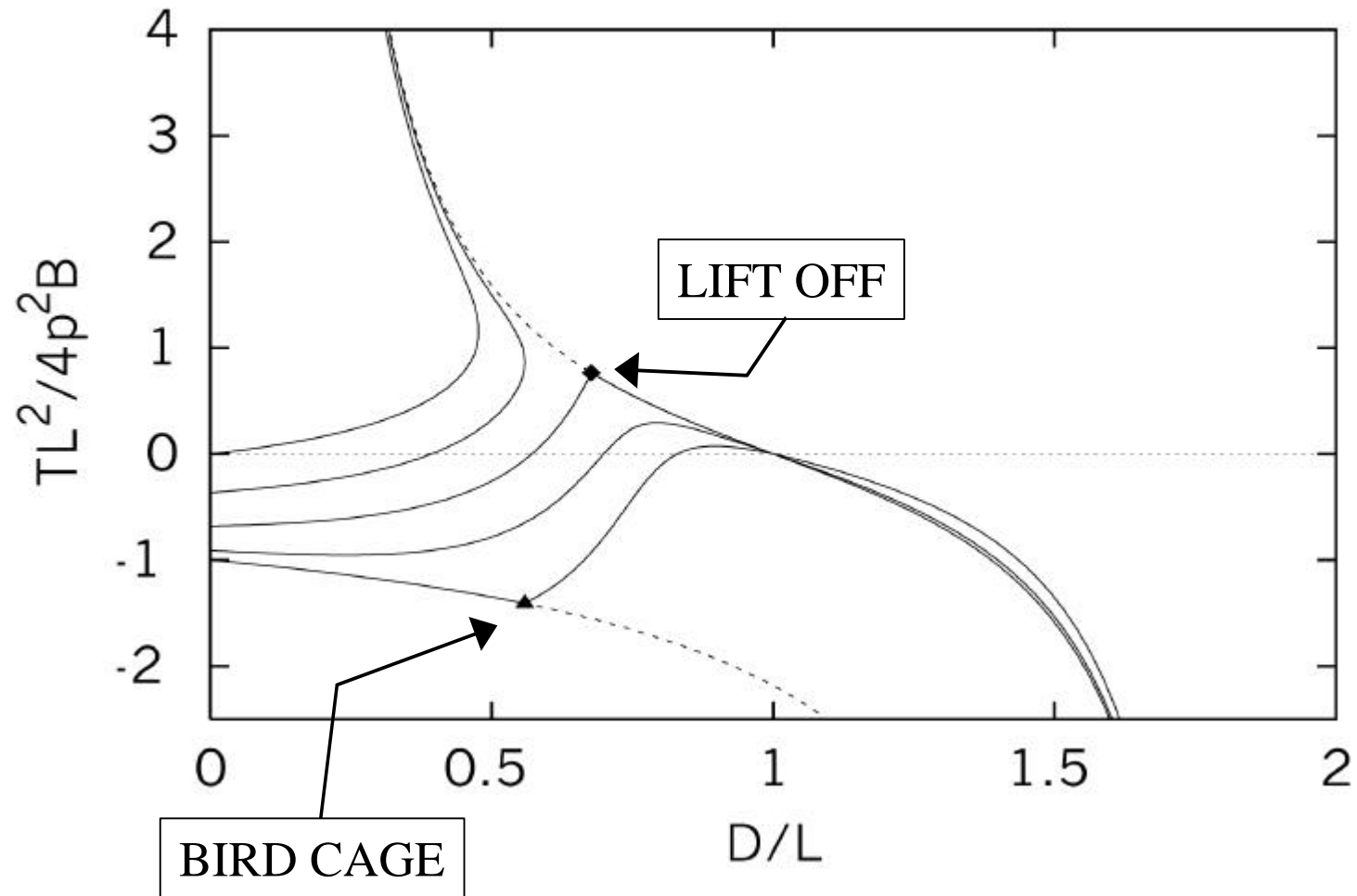
$$d'_{3z} = -t y d_{3y} - t x d_{3x} + m_{x0} d_{3y}$$

$$x' = d_{3x}$$

$$y' = d_{3y}$$

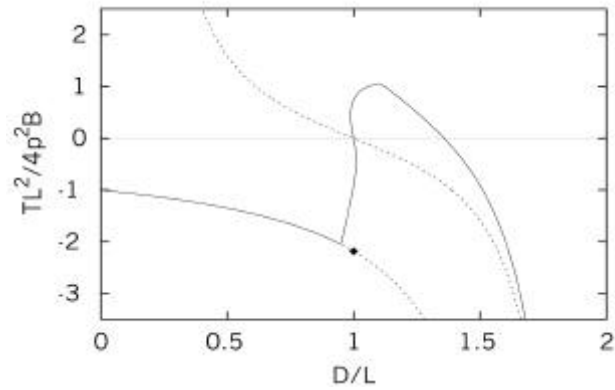
$$z' = d_{3z}$$

Filament de longueur finie : translation sans rotation

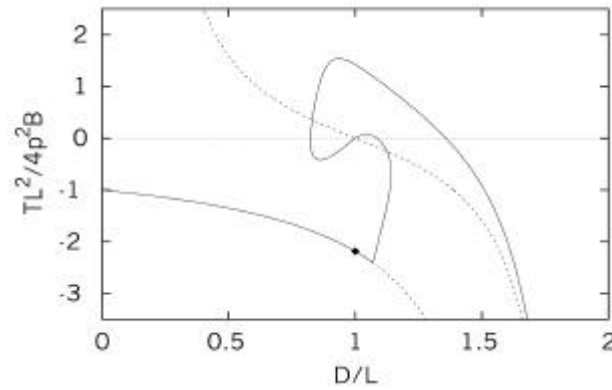


Filament de longueur finie : translation sans rotation dépendance en Γ

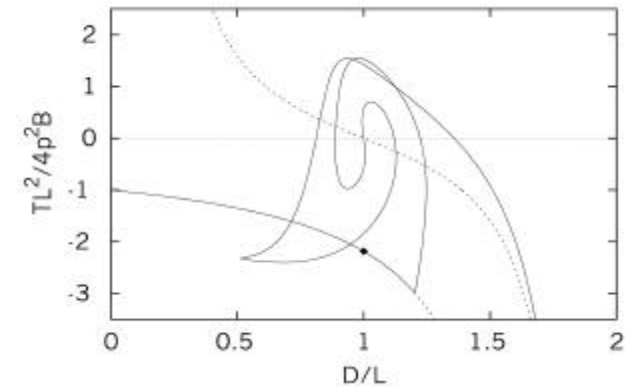
$\Gamma = 1.8$



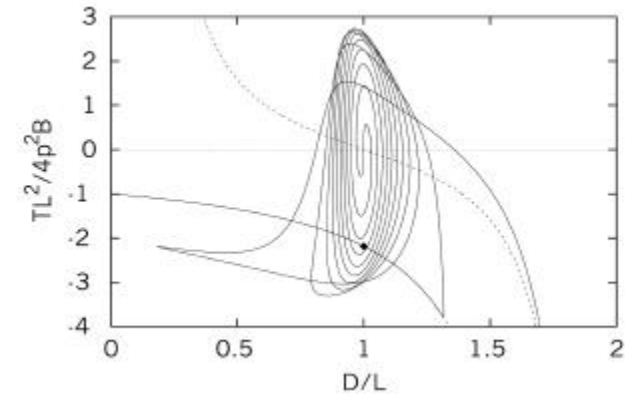
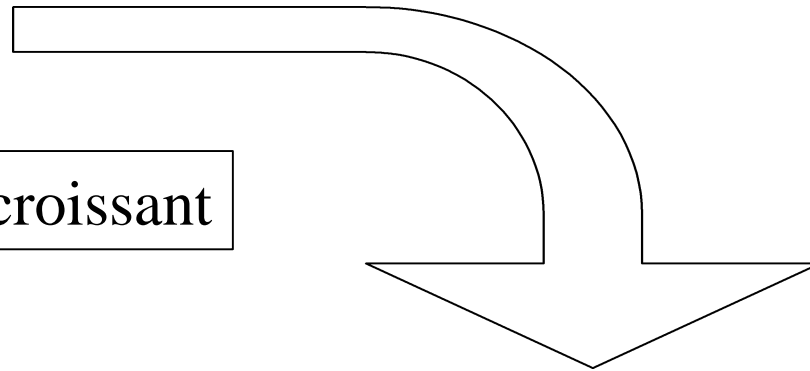
$\Gamma = 2.4$



$\Gamma = 4.0$

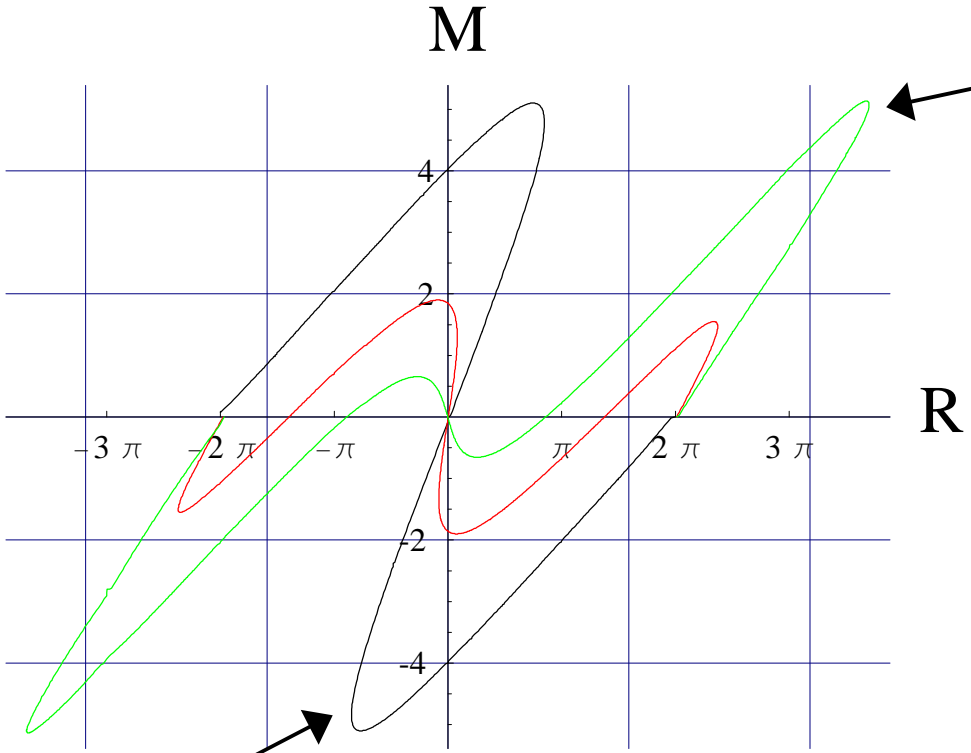


Γ croissant



$\Gamma = 12$

Filament de longueur finie : rotation sans translation



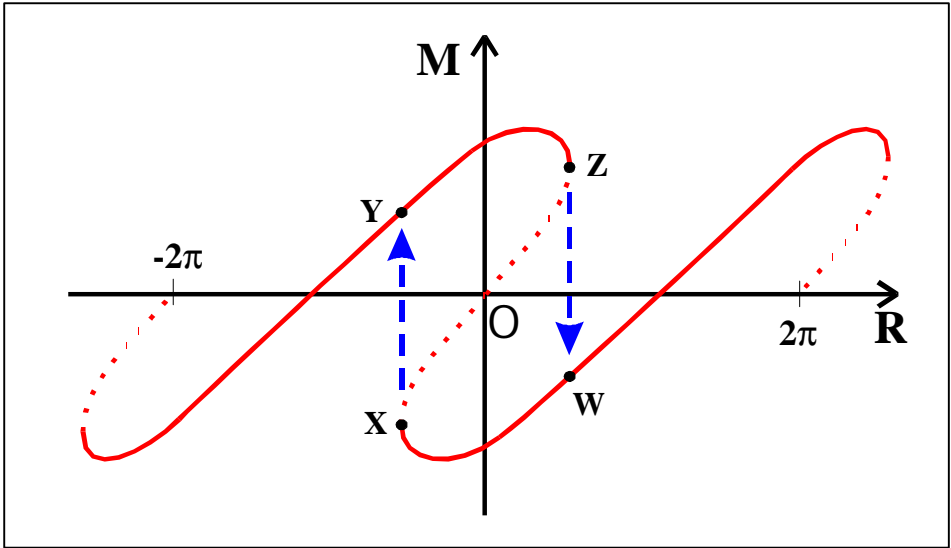
Même point limite que précédemment.

$D_0 = 0.5$

$D_0 = 0.62$

$D_0 = 0.8$

Nouveau point limite => hystéresis



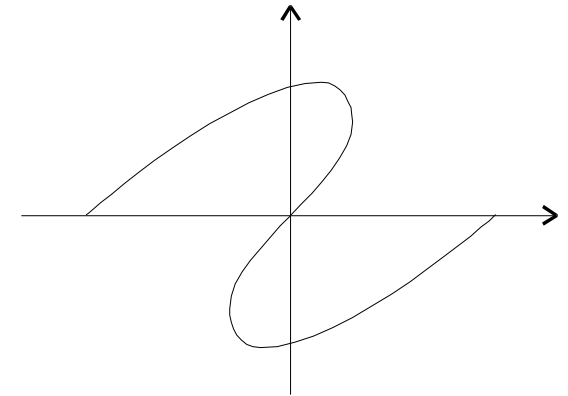
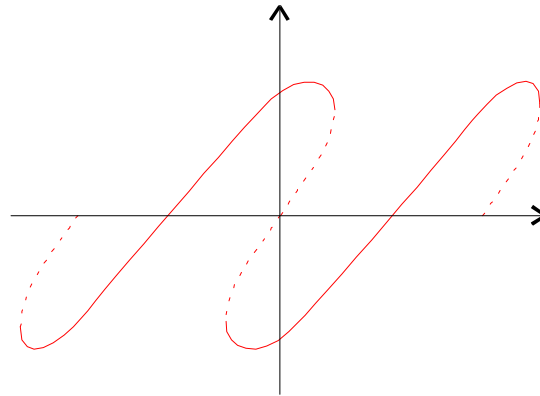
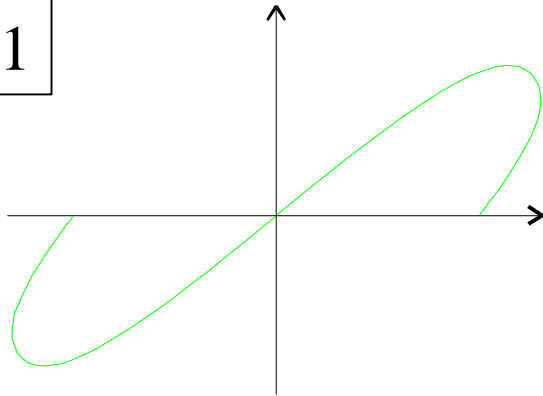
Filament de longueur finie : rotation sans translation dépendance en Γ

$D_0=0.5$

$D_0=0.62$

$D_0=0.8$

$\Gamma < 1$



$\Gamma > 1$

